







Une simple méthode pour adapter et résoudre des EDPs sur nuage de points.

François Lozes, Abderrahim Elmoataz

GREYC CNRS UMR 6072 - Image Team - Université de Caen Basse-Normandie - ENSICAEN 6, boulevard du Maréchal Juin 14050 Caen cedex françois.lozes@unicaen.fr

Journée Traitement d'Images (Rouen) 9 avril 2015



Beaucoup de données sont récoltées :

- Données ou de fonctions sur nuages de points.
- Données non organisées sur une grille cartésienne.
- Nécessité de traiter et à analyser ces nuages de points 3D.







- De nombreux problèmes inverses en traitement d'images peuvent se formuler par des EDPs.
- Extension sur des nuages de points 3D.







- The second
 - Considérons une surface S correspondant à un nuage de points.
 - Soit l'EDP à résoudre

$$\begin{cases} \frac{\partial f}{\partial t}(x,t) = \phi(f,\nabla_{S}f,\nabla_{S}^{2}f) \\ f(x,0) = f_{0}(x), \end{cases}$$

• Représentation intrinsèque : ensemble de polygones reliés entre eux

$$S = \{P_1, ...P_n\},$$

• Représentation implicite : $\phi : \mathbb{R}^3 \to \mathbb{R}$

$$S = \{x \in \mathbb{R}^3 | \phi(x) = 0\}$$

• Représentation explicite, $f: \mathbb{R}^2 \to \mathbb{R}^3$:

$$S = \{f(u, v)\} = (x(u, v), y(u, v), z(u, v))$$



Fonctions de niveau-zéro :

- Soit $P_N v$ l'opérateur projection d'un vecteur $v \in \mathbb{R}^3$ sur le plan orthogonal à N.
- Gradient sur surface S:

$$\nabla_S f(x) = P_N \nabla f(x)$$

• Laplacien sur surface S:

$$\Delta_{S}f(x) = \nabla \cdot (\nabla_{S}f(x)) = \nabla \cdot (P_{N}\nabla f(x))$$

Méthode au point le plus proche [Ruuth and Merriman 2008] :

- Opérateur du point le plus proche $cp: \mathbb{R}^3 \to \mathbb{R}^3$.
- Gradient sur surface :

$$\nabla_S f(x) = \nabla f(cp(x))$$

• Laplacien sur surface S:

$$\Delta_S f(x) = \nabla \cdot \nabla_S f(x) = \nabla \cdot \nabla f(cp(x))$$



Résumé représentations des surfaces 3D :

| | Représentation | Avantage | Inconvénient |
|---|----------------|--------------------------|---|
| ĺ | Implicite | Topologie manipulable | Extension des données sur une grille Cartésienne |
| 1 | Explicite | Opérateurs différentiels | Paramétrisation des surfaces arbitraires compliquée |
| | Intrinsèque | Opérateurs différentiels | Contraintes topologiques à respecter |
| | | | |

EDP sur nuages de points 3D :

- Maillage local [Lail et al 2013] (intrinsèque).
- Paramétrisation local [Liang et al. 2012] (explicite).
- Extension grille Cartésienne [Macdonal et al. 2013] (implicite).

Notations, définitions et opérateurs

2 Transposition d'EDP sur nuages de points

Conclusion & Perspectives

1 Notations, définitions et opérateurs

Transposition d'EDP sur nuages de points

Conclusion & Perspectives



• Soit l'EDP à résoudre

$$\begin{cases} \frac{\partial f}{\partial t}(x,t) = \phi(f,\nabla_{S}f,\nabla_{S}^{2}f) \\ f(x,0) = f_{0}(x), \end{cases}$$

• Transposition d'EDP sur graphe

$$\begin{cases} \frac{\partial f}{\partial t}(x,t) = \phi(f,\nabla_w f, \Delta_w f) \\ f(x,0) = f_0(x), \end{cases}$$



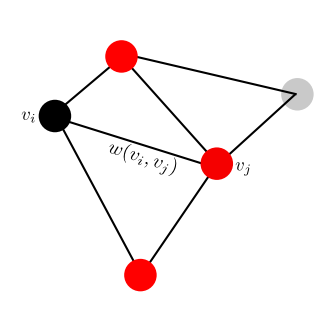
- Soit $G = (\mathcal{V}, \mathcal{E}, w)$ un graphe de topologie arbitraire.
- Ensemble des sommets : $\mathcal{V} \subset \Omega \subset \mathbb{R}^n$.
- Ensemble des arêtes $\mathcal{E} = \{(v_i, v_i) \in \mathcal{V} \times \mathcal{V} | v_i, v_i \in \mathcal{V} \text{ et } v_i \neq v_i \}$
- Fonction d'interraction symmétrique $w: \mathcal{V} \times \mathcal{V} \rightarrow [0,1]:$

$$w(v_i, v_j) = w(v_j, v_i) = \begin{cases} [0, 1] & \text{si } (v_i, v_j) \in \mathcal{E} \\ 0 & \text{sinon} \end{cases}$$

- Voisinage d'un sommet $N(v_i) = \{v_i \in \mathcal{V} | (v_i, v_i) \in \mathcal{E}\} = \{v_i \sim v_i\}$
- Bordure interne / externe de $A \subset \mathcal{V}$:

$$\partial^{-}A = \{v_i \in A | \exists v_j \in A^c, v_j \sim v_i\}$$

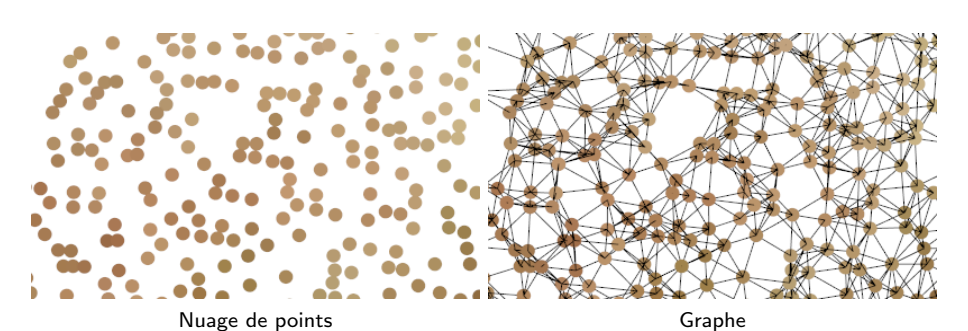
$$\partial^{+}A = \{v_i \in A^c | \exists v_i \in A, v_i \sim v_i\}$$

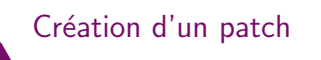


- Nuage de points $P = \{p_1, ..., p_n\}, p_i \in \mathbb{R}^3$: coordonnées 3D.
- Création du graphe $G = (\mathcal{V}, \mathcal{E}, w)$:

$$\mathcal{E} = \{(v_i, v_i) \in \mathcal{V} \times \mathcal{V} | v_i \in K_k^{\mu}(v_i)\}$$

• Construction k-ppv symmétrique en fonction de la géométrie :





- Imagette 2D
- Capture les motifs répétitifs d'une texture.
- Extention patch sur un nuage de points 3D.

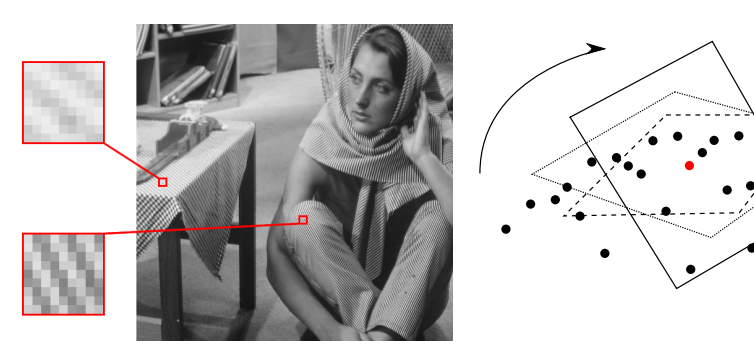


Image 2D

Nuage de points 3D



- Orientation du patch en un point dépend uniquement de la normale en ce point.
- Estimation des normales [Hoppe et al. 1992] :

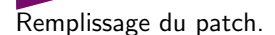
$$\mathbf{C}(v_i) = \left[\mathbf{p}(v_j) - \overline{\mathbf{p}}(v_i)\right] \cdot \left[\mathbf{p}(v_j) - \overline{\mathbf{p}}(v_i)\right]^T, v_j \sim v_i$$

$$(\mathbf{v_0}(v_i), \mathbf{v_1}(v_i), \mathbf{v_2}(v_i)) = eig(\mathbf{C}(v_i))$$

$$\mathbf{n}(v_i) = \mathbf{v_0}(v_i)$$

Orientation patches :

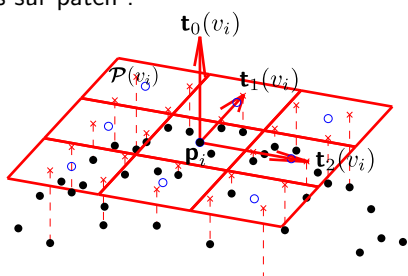
$$\begin{aligned} \mathbf{t}_0(v_i) &= \mathbf{n}(v_i) \\ \mathbf{t}_2(v_i) &= \mathbf{t}_0(v_i) \times \mathbf{t}_1(v_i) \end{aligned} \quad \begin{cases} \mathbf{t}_1(v_i) &= \mathbf{z} \times \mathbf{t}_0(v_i) \text{ si } |\mathbf{z} \cdot \mathbf{t}_0(v_i)| \neq 1 \\ \mathbf{t}_1(v_i) &= \mathbf{x} \times \mathbf{t}_0(v_i) \text{ sinon}, \end{cases}$$



• Interpolation des valeurs des cellules du patch :

$$\mathcal{P}(v_i) = \left(rac{\sum\limits_{v_j \in V_k(v_i)} w(\mathbf{c}_k, \mathbf{p}_j) f^0(v_j)}{\sum\limits_{v_j \in V_k(v_i)} w(\mathbf{c}_k, \mathbf{p}_j)}
ight)^T_{k \in [1, n^2]},$$

• Projection voisins sur patch :





Remplissage du patch.

• Interpolation des valeurs des cellules du patch :

$$\mathcal{P}(v_i) = \left(rac{\sum\limits_{v_j \in V_k(v_i)} w(\mathbf{c}_k, \mathbf{p}_j) f^0(v_j)}{\sum\limits_{v_j \in V_k(v_i)} w(\mathbf{c}_k, \mathbf{p}_j)}
ight)^T_{k \in [1, n^2]},$$

• Patch hauteur :

$$f^0(v_j) = \langle \mathbf{p}_j - \mathbf{p}_i, \mathbf{n}(v_i) \rangle.$$

• Patch couleur :

$$f^0(v_j) = f(v_j).$$







Remplissage du patch.

• Interpolation des valeurs des cellules du patch :

$$\mathcal{P}(v_i) = \left(\frac{\sum\limits_{v_j \in V_k(v_i)} w(\mathbf{c}_k, \mathbf{p}_j) f^0(v_j)}{\sum\limits_{v_j \in V_k(v_i)} w(\mathbf{c}_k, \mathbf{p}_j)}\right)^T_{k \in [1, n^2]},$$

• Patch hauteur :

$$f^0(v_i) = \langle \mathbf{p}_i - \mathbf{p}_i, \mathbf{n}(v_i) \rangle.$$

• Patch couleur :

$$f^0(v_j) = f(v_j).$$







Fonction pondération $w: \mathcal{V} \to [0,1]$, similarité.

- $w(v_i, v_j) = 1$
- Coordonnées, couleurs, ... :

$$w(v_i,v_j) = \mu(f(v_i),f(v_j))$$

• Patch hauteur, patch couleurs, ... :

$$w(v_i, v_j) = \mu(\mathcal{P}(v_i), \mathcal{P}(v_j))$$



- Soit $G = (\mathcal{V}, \mathcal{E}, w)$ un graphe connexe pondéré
- Soient $f: \mathcal{V} \to \mathbb{R}$ et $F: E \to \mathbb{R}$ deux fonctions définies sur G
- Opérateur de différence pondérée :

$$\partial_{v_j} f(v_i) = (d_w f)(v_i, v_j) = \sqrt{w(v_i, v_j)} (f(v_j) - f(v_i)).$$

• Opérateur adjoint de la différence :

$$(d_w^*H)(v_i) = \sum_{v_i \sim v_i} \sqrt{w(v_i, v_j)} (H(v_j, v_i) - H(v_i, v_j)).$$

• Opérateur de gradient pondéré :

$$(\nabla_w f)(v_i) = (\partial_{v_i} f(v_i))_{v_i \in \mathcal{V}}^T$$



• Opérateur *p*-laplacien isotrope :

$$(\Delta_{w,p}^{i}f)(v_{i}) = \frac{1}{2}d_{w}^{*}(||\nabla_{w}f||_{2}^{p-2}d_{w}f)(v_{i})$$

$$= \sum_{v_{j}\sim v_{i}}\frac{1}{2}w(v_{i},v_{j})(||\nabla_{w}f(v_{i})||_{2}^{p-2} + ||\nabla_{w}f(v_{j})||_{2}^{p-2})(f(v_{i}) - f(v_{j}))$$

Opérateur p-laplacien anisotrope :

$$(\Delta_{w,p}^{a}f)(v_{i}) = \frac{1}{2}d_{w}^{*}(|d_{w}f|^{p-2}d_{w}f)(v_{i})$$

$$= \sum_{v_{i}\sim v_{i}}w(v_{i},v_{j})^{\frac{p}{2}}|f(v_{j})-f(v_{i})|^{p-2}(f(v_{i})-f(v_{j}))$$

Laplacien-Beltrami :

$$\Delta f = div(grad \ f)$$

Opérateurs directionnels

- Dérivées directionnelles
 - Externe

$$\partial_{v_j}^+ f(v_i) = \max(0, (\partial_{v_j} f(v_i))$$

Interne

$$\partial_{v_i}^- f(v_i) = -\min(0, (\partial_{v_j} f(v_i))$$

- Gradients
 - Externe

$$(\nabla_w^+ f)(v_i) = \left((\partial_{v_j}^+ f)(v_i)\right)_{v_j \in \mathcal{V}}^T.$$

Interne

$$(\nabla_w^- f)(v_i) = \left((\partial_{v_j}^- f)(v_i)\right)_{v_j \in \mathcal{V}}^T.$$

Opérateur ∞-laplacien [Elmoataz et al. 2012] :

$$(\Delta_{w,\infty}f)(v_i) = \frac{1}{2} \left[||(\nabla_w^+ f)(v_i)||_{\infty} - ||(\nabla_w^- f)(v_i)||_{\infty}|| \right]$$

Transcription sur graphe les opérateurs de la morphologie mathématique :

Dilatation

$$\frac{\partial f(v_i)}{\partial t} = +||(\nabla_w^+ f)(v_i)||_p$$

$$\frac{\partial f(v_i)}{\partial t} = -||(\nabla_w^- f)(v_i)||_p$$



• Laplacien anisotrope sur graphe discret :

$$\Delta_p^a f(u) = \sum_{v,u} \sqrt{w(u,v)}^p |f(u) - f(v)|^{p-2} (f(u) - f(v))$$

• Pour e = (u, v):

$$\frac{\partial f}{\partial e}|_{u} = \sqrt{w(u,v)}(f(v) - f(u))$$

$$\Delta_p^a f(u) = \sum_{\sim v, u} \frac{\partial}{\partial e} \left(\left| \frac{\partial}{\partial e} f \right|^{p-2} \frac{\partial f}{\partial e} \right) |_u$$

Equivalent continue local :

$$\Delta_p^a f(u) = \sum_{i=1}^n \frac{\partial}{\partial x_i} \left(\left| \frac{\partial}{\partial x_i} f \right|^{p-2} \frac{\partial f}{\partial x_i} \right)$$



Laplacien non-local anisotrope sur graphe discret :

$$\Delta_p^a f(u) = \sum_{(u,v) \in \mathcal{V} \times \mathcal{V}} \sqrt{w(u,v)}^p |f(u) - f(v)|^{p-2} (f(u) - f(v))$$

Equivalent continue non-local :

$$\Delta_p^a f(u) = \int_{\Omega} \sqrt{w(u,v)}^p |f(u)-f(v)|^{p-2} (f(u)-f(v)) dv$$

Notations, définitions et opérateurs

2 Transposition d'EDP sur nuages de points

Conclusion & Perspectives

- Transp
 - Considérons une surface S correspondant à un nuage de points.
 - Soit l'EDP à résoudre

$$\begin{cases} \frac{\partial f}{\partial t}(x,t) = \phi(f,\nabla_{S}f,\nabla_{S}^{2}f) \\ f(x,0) = f_{0}(x), \end{cases}$$

• Transposition d'EDP sur graphe

$$\begin{cases} \frac{\partial f}{\partial t}(x,t) = \phi(f,\nabla_w f, \Delta_w f) \\ f(x,0) = f_0(x), \end{cases}$$

Schéma de résolution :

$$\frac{f^{n+1}(v_i) - f^n(v_i)}{\Delta t} = \phi(f, \nabla_w f, \Delta_w f)(v_i),$$

$$f^{n+1}(v_i) = f^n(v_i) + \Delta t \phi(f, \nabla_w f, \Delta_w f)(v_i),$$



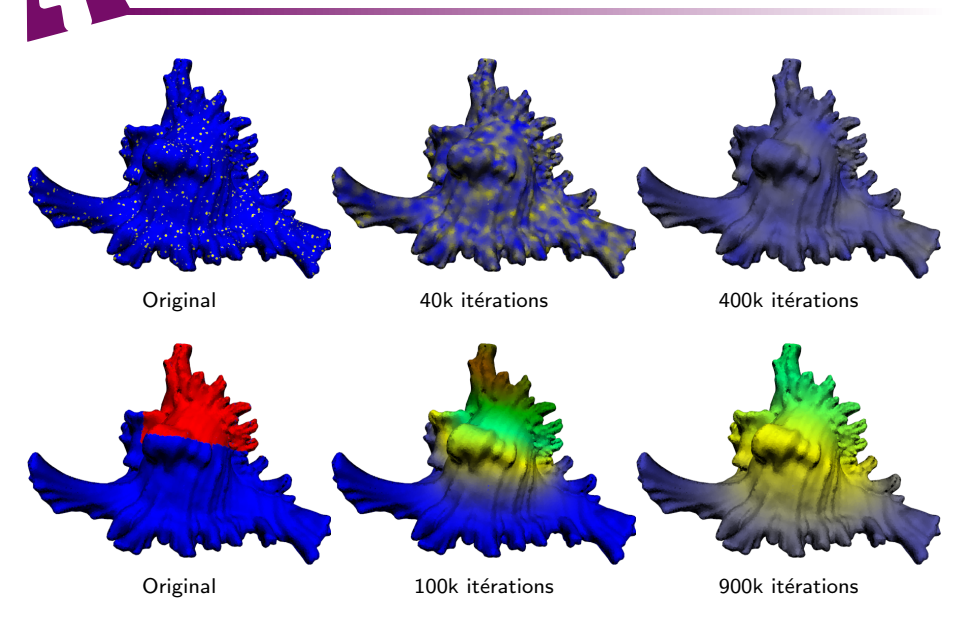
• EDP à résoudre :

$$\begin{cases} \frac{\partial f(x,t)}{\partial t} = \Delta_S f(x,t) \\ f(x,0) = f^0(x) \end{cases}$$

• Formulation sur graphe :

$$\begin{cases} f^{(n+1)}(v_i) = f^{(n)}(v_i) - \Delta t(\Delta_{w,2} f)(v_i), \\ f^{(0)}(v_i) = f^{(0)}(v_i), \end{cases}$$

Notations, définitions et opérateurs Transposition d'EDP sur nuages de points Conclusion & Perspectives





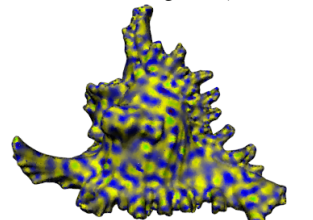
• Paire d'EDP à résoudre [A.M. Turing, 1952] :

$$\begin{cases} \frac{\partial f}{\partial t} = F(f,g) + D_f \Delta_S f \\ \frac{\partial g}{\partial t} = G(f,g) + D_g \Delta_S g \end{cases} \text{ avec } \begin{cases} F(f,g) = s(fg - f - \alpha) \\ G(f,g) = s(\beta - fg) \\ f^{(0)} = f^0 \\ g^{(0)} = g^0 \end{cases}$$

Résolution sur graphe :

$$\begin{cases} f^{(n+1)}(v_i) = f^{(n)}(v_i) - \Delta t \left[F(f,g)(v_i) + D_f(\Delta_{w,2}f)(v_i) \right] \\ g^{(n+1)}(v_i) = g^{(n)}(v_i) - \Delta t \left[G(f,g)(v_i) + D_g(\Delta_{w,2}g)(v_i) \right] \end{cases}$$

$$\begin{cases} f^{(0)} = g^{(0)} = 4\\ s = 1/128\\ \alpha(v_i) = 12 \pm 0.012\\ \beta(v_i) = 12 \pm 0.012 \end{cases} \begin{cases} D_f = 1/16\\ D_g = 1/4\\ \Delta t = 0.1 \end{cases}$$

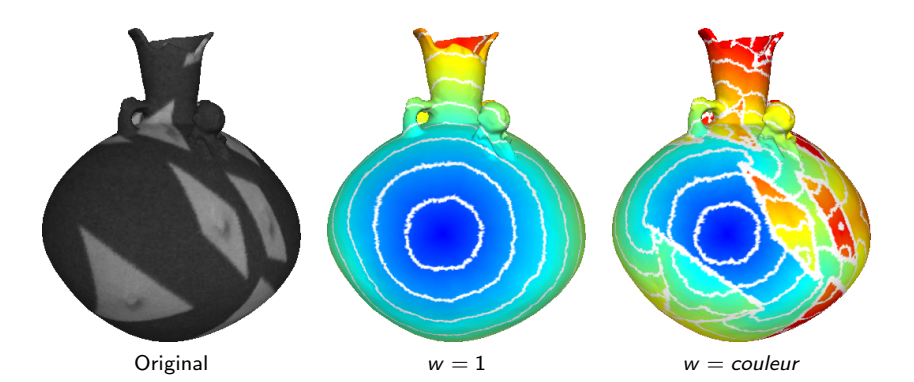




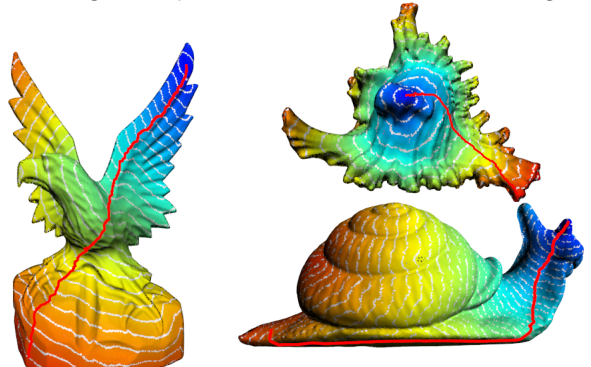
• Formulation sur graphe [Desquesnes et al., 2013] :

$$\begin{cases} ||\nabla_w^- f(v_i)||_{\rho} = 1 & v_i \in \mathcal{V} \\ f(v_i) = 0 & v_i \in \gamma \subset \mathcal{V}, \end{cases}$$

• Distance généralisé sur graphes.



Distance géodésique et chemins minimaux sur nuages de points



Résolution de labyrinthes sur nuage de points





Processus morphologique continue :

$$\begin{aligned} \frac{\partial f}{\partial t} &= + ||(\nabla f)|| \quad \text{(dilatation)}, \\ \frac{\partial f}{\partial t} &= - ||(\nabla f)|| \quad \text{(\'erosion)}. \end{aligned}$$

• Généralisation opérateurs morphologiques sur graphes :

$$\frac{\partial f}{\partial t}(v_i, t) = + ||(\nabla_w^- f)(v_i)||_p^q,$$
$$\frac{\partial f}{\partial t}(v_i, t) = -||(\nabla_w^- f)(v_i)||_p^q.$$

 $\begin{array}{ll} \bullet \ \ \text{Pour} \ p = \infty \ \text{et} \ q = 1 : \\ & \frac{\partial f}{\partial t}(v_i,t) = +||(\nabla_w^+ f)(v_i)||_{\infty}, \\ & \frac{\partial f}{\partial t}(v_i,t) = -||(\nabla_w^- f)(v_i)||_{\infty}. \end{array} \quad \begin{array}{ll} \text{NLD}(f)(v_i) = f(v_i) + \max_{v_j \sim v_i} \sqrt(w(v_i,v_j))(f(v_j) - f(v_i))^+ \\ & \frac{\partial f}{\partial t}(v_i,t) = -||(\nabla_w^- f)(v_i)||_{\infty}. \end{array} \quad \begin{array}{ll} \text{NLE}(f)(v_i) = f(v_i) + \max_{v_j \sim v_i} \sqrt(w(v_i,v_j))(f(v_i) - f(v_j))^+ \\ & \text{NLA}(f)(v_i) = \frac{1}{2} \left(\text{NLD}(f)(v_i) + \text{NLE}(f)(v_i) \right) \end{array}$

ocal_



Filtrage couleur $f: \mathcal{V} \to \mathbb{R}$











Original Original N



Érosion



Dilation



Ouverture



Fermeture



• Interpolation de données manquantes f :

$$\begin{cases} f(v_i) = NLA(f)(v_i) & \forall v_i \in \mathcal{A}, \\ f(v_i) = f^0(v_i) & \forall v_i \in \partial \mathcal{A}. \end{cases}$$

• Algorithme itératif :

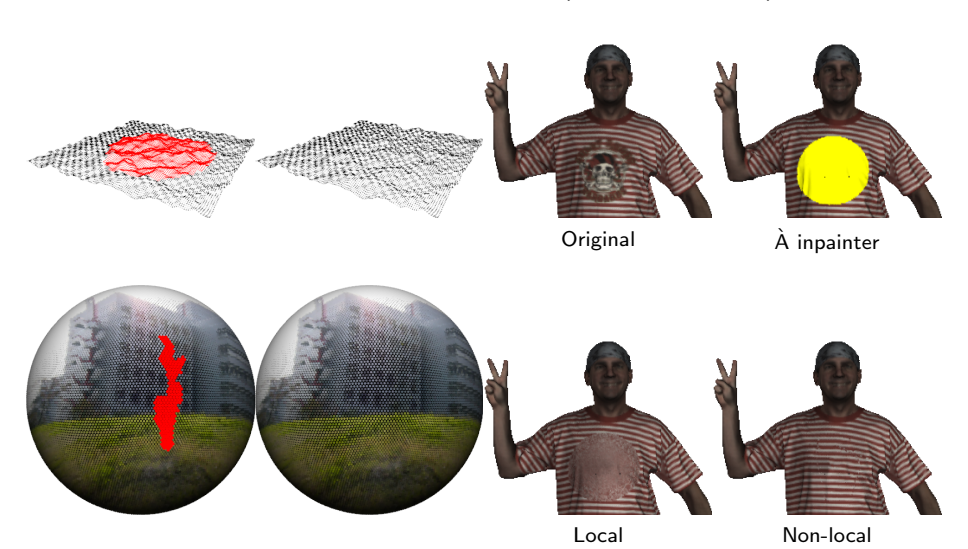
$$\begin{split} f^{(n+1)}(v_i) & = & \begin{cases} \text{NLA}(f^{(n)})(v_i) & \forall v_i \in \partial^-\mathcal{A}, \\ f^{(n)}(v_i) & \forall v_i \in \partial\mathcal{A}. \end{cases} \\ \partial\mathcal{A}^{(n+1)} & = & \partial\mathcal{A}^{(n)} \cup \partial^-\mathcal{A}^{(n)} \end{split}$$

• w : similarité patch couleurs.





Inpainting sur des surfaces et nuages points 3D ($\alpha = \beta = 0, \gamma = 1$).





Cas images : $I: V \to \mathbb{R}$ (luminance)

ullet Interpolation chrominance $f^0:\mathcal{V}
ightarrow \mathbb{R}^3$:

$$f^{0}(v_{i}) = \begin{cases} \left[\frac{r(v_{i})}{I(v_{i})}, \frac{g(v_{i})}{I(v_{i})}, \frac{b(v_{i})}{I(v_{i})}\right] & v_{i} \in \partial A \\ [0, 0, 0] & v_{i} \in A, \end{cases}$$

- Pondération w selon la luminance.
- Algorithme itératif :

$$f^{(n+1)}(v_i) = \begin{cases} NLA(f^{(n)})(v_i) & v_i \in A \\ f^0(v_i) & v_i \in \partial A \end{cases}$$



Cas de nuages de points 3D.

ullet Interpolation chrominance $f^0: \mathcal{V}
ightarrow \mathbb{R}^3:$

$$f^{0}(v_{i}) = \begin{cases} [r(v_{i}), g(v_{i}), b(v_{i})] & v_{i} \in \partial A \\ [0, 0, 0] & v_{i} \in A, \end{cases}$$

- Pondération w selon patch saillance
- Algorithme itératif :

$$f^{(n+1)}(v_i) = \begin{cases} NLA(f^{(n)})(v_i) & v_i \in A, \\ f^0(v_i) & v_i \in \partial A, \end{cases}$$



Colorisation de nuages de points 3D.









Notations, définitions et opérateurs

Transposition d'EDP sur nuages de points

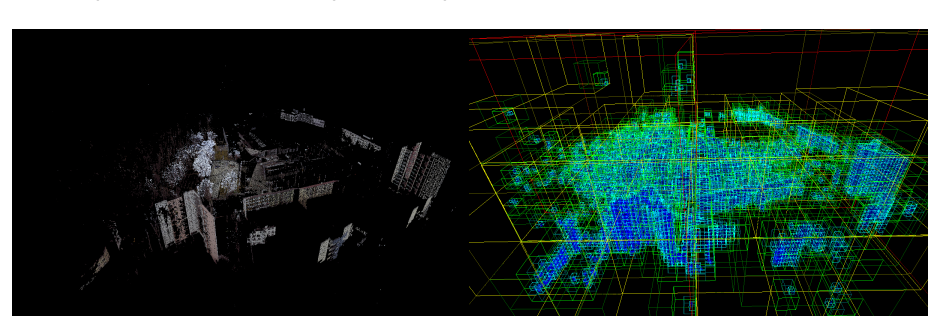
Conclusion & Perspectives

- Approche extrêment simple pour résoudre et adapter des EDPs sur nuage de points 3D.
- Pas de prétraitement, unification traitements locaux / non-locaux.
- Opérateur généralisant le Laplacien isotrope / anisotrope.
- EDPs pour résoudre des problèmes de restauration ou d'interpolation sur nuages de points.

- Comparer l'approximation des opérateurs différenciels par rapport aux autres représentations.
- Adapter la résolution d'EDPs à d'autres applications.
- ullet Étendre les traitements à des nuages de points massifs (>1 milliard de points).



- Affichage de nuage de points massif
- Représentation hierachique de l'espace



DEMO





Merci de votre attention.

- F. Lozes, A. Elmoataz et O. Lézoray. Color Point Clouds for Cultural Heritage: Opportunities for Graph Signal Processing IEEE Signal Processing Magazine Special Issue dedicated to Signal Processing for Art investigation, 2015
 - F. Lozes, A. Elmoataz et O. Lézoray. **Partial Difference Operators on Weighted Graphs for Image Processing on Surfaces and Point Clouds** IEEE Transactions on Image Processing, 2014, pp. 3896-3909
- D. Tenbrinck, A. Elmoataz et F. Lozes. **Solving Minimal Surface Problems on Surfaces and Point Clouds**, IEEE Scale Space and Variational Methods in Computer Vision (SSVM), 2015